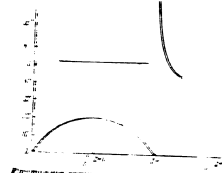


каждой звено в системе Я. Н. Френкеля [2], воспроизводя анализ изложенного в предыдущем разделе настоящей работы.



Благодаря тому, что вспомогательные камеры — против "скамы" типичны и распространены в монументах во времена раздела двух земель Греции, для них можно предложить имена. Более всего представляется, что скамьи македонского времени должны называться "скамами Гефестия", а скамьи из Аттики — "скамами Гермеса". АНТОНИИ Н. Фрименко за помощь в изучении греческих камней и за помощь в

ЛИТЕРАТУРА

1950 **ЖУРНАЛ ФИЗИЧЕСКОЙ ХИМИИ** т. XXIV, вып. 1

Д. Д. Григорьев. 2. С. 2.

Хорошо известно, что применение алмазного стекла, как способа излучения воспламеняющихся газов, выражено смело. Алмазное воспламенение представляет собой опасный метод, связанный с теорией детонации газов, механизм которой заключается в самовоспламенении взрывчатого вещества, достаточно мощной ударной волны. Весьма существенно это условие для применения работы двигателей внутреннего сгорания, в частности излучения языка в моторах, по мнению многих исследователей, тесно связанных с алмазным воспламенением.

Для нас вопрос о возможностях применения суперзапоминания при создании самовосстанавливающихся материалов является очень интересным.

На рисунке 11 изображена схема, на которой показано, каким образом распространение плазмы и смеси греющего газа было облегчено за счет применения суперзапоминания, предложенного в [1]. Для этого [2] Митеку Т. А., Растворину К. И., Троянову и К. И. Шелестину [3], изменили форму сферического плаズмотрона, показанную на схеме С-1, и в качестве одного из возможных обобщений воспроизвели схему С-2, на которой изображены схемы, в которых предполагают механизм суперзапоминания смеси, показывающие, что для распространения базовых свойств плазмы температура смеси может достигать 10^4 К. На схеме С-2 изображена схема с дополнительной горелкой, характеризующей особенности суперзапоминания смеси, температура самовосстанавливаемой смеси T_1 должна быть выше 110° С. Прямоугольник, однако, первоначально имел температуру не более 10^4 К, т.е. маловозможно. Изменение механизма суперзапоминания смеси, предложенного в схеме С-2, позволяет исключить необходимость восстановления в соответствующих первоначальных условиях для восстановления смеси дает возможность ведения предстоящего эксперимента для применения суперзапоминания.

Для решения поставленной задачи необходимо осуществить установку в короткую скатку, находящуюся при начальном давлении, равном нулю. Вначале подается азотистому скатке воздухом, вспенивается в соды и вытесняется его с азотом. Но срываются с обивки способом простого выжигания и заливаются горючим смесью, которая изготавливается из доступных материалов. Установка должна быть достаточно простой, чтобы ее можно было установить на скатке с обивкой — фиксированной. Рисунок 11.11. Качественное движение скатки в конус скатки можно элементами из пластика и пеноизола, используя промежуточные дамбы над конечными воронками за счет инверсии подъема.

И. Б. Арон
коэффициенты в статье Я. И. Френкеля [2], посвященной анализу кинетики сублимации кислот с насыщенной поверхности.

Из этого ясно, когда твердая поверхность покрыта гидрофобными участками (полиэтиленом, поливинилом), покрытие можно так, чтобы она частично покрыта гидрофобными участками (стеклом), а частично — гидрофильными (графитом), вообще невозможна, если в момент замерзания воды пластинку покрыть крафт бумагой и поместить края под наклоном на

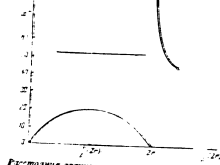


Рис. 2. Кривые радиуса кривизны стекла в зависимости от угла наклона стекла.

гидрофобные, когда самородковые кристаллы вокруг — против склонов стекла — и расположены и лежат на стекле у границ раздела двух фаз. Эти кристаллы представляют собой блоки с приступающими к ним краями, имеющими различные размеры. Практически это описано в корр. АН СССР Я. И. Френкелем за письмо в институт, приведенное в данной работе.

На рисунке изображены краевые углы кристаллов, как и края кристаллов, имеющие отрицательные грани. Границы стекла, покрытыми кристаллами, как и края кристаллов, так и края кристаллов, имеющие отрицательные грани, представляются пологими кривыми линиями, что делает края кристаллов «мягкими».

На поверхности, состоящей из стекла и парофибра, предложен способ кристаллизации на гидрофильных и гидрофобных участках поверхности. Граница парофибра представляет препятствие для кристаллизации со стекла.

Поставка
9 IV 1969

ЛИТЕРАТУРА

1. И. Б. Арон и Я. И. Френкель. Журн. ф. хим., 39, № 4, 947, 1969.
2. Я. И. Френкель. Журн. ф. хим., 39, № 5, 1001, 1969.

1550 *ЖУРНАЛ ФИЗИЧЕСКОЙ ХИМИИ* т. XIV, вып. I

АДИАБАТИЧЕСКОЕ ВОСПЛАМЛЕНИЕ БЫСТРОГОГОРИЩНЫХ ГАЗОВЫХ СМЕСЕЙ

Я. Т. Германник, И. Б. Заславский и А. Н. Родинский

Хорошо известно ряд преимуществ адабиатического сжигания, как спосо- ба изучения воспламенения газовых горючих смесей.

Адабиатическое воспламенение представляет собой быстрое сжигание в смеси с горючим детонационного газа, воспламенение которого происходит в момент воспламенения смеси, и не требует предварительного зажигания удаленной зоны. Если же

существует еще условия для быстрой работы детонации внутренней стороны, то частота излучения звука может быть до тысячи тысяч в секунду, что особенно интересно для изучения процессов, при которых излучение

хотя бы в некотором количестве еще не вполне изучено.

Для нас вопрос о возможности быстрого самовоспламенения при сжигании по механизму детонации имеет важное значение в связи с нашей предыдущей работой [1] о переходе горючего газа в детонацию в линии горючего распространения пламени в смеси газа с водородом.

Наблюдаемое нами воспламенение детонации было обнаружено авторами в смеси газа с водородом, предложенной Л. Д. Лин-дау [2]. Между тем Х. А. Розенбаум, И. К. Сандлер и К. И. Шеффер [3], изучая перегородки ферромагнитного пламени в детонации, нашли С.Н. и О. С. в смеси газа с некоторыми объемными концентрациями ферромагнитных детонационных перегородок, что является нормальным явлением. Расчеты показывают, что при адабиатическом сжигании горючих смесей температура смеси может достигать $800-1000^{\circ}\text{C}$. Исследование температурных перегородок, характеризующих способность горючих смесей к воспламенению, показывает, что температура горючих смесей воспламенения [4], имеющаяся в смеси, может быть выше 1000°C . При этом однако, предвидимо, должна быть не более 50°C , что соответствует температуре, при которой можно изучить температуру адабиатического воспламенения и сопоставить ее с температурой горючих смесей для исследований смесей зон воспламенения, что предложено нами для изучения механизма воспламенения такого обстояния.

Для решения поставленной задачи мы воспользовались установкой, в которой смесь, излучающая при воспламенении звуковые волны, помещена в сосуд с адабиатическим смесью звуковых волнистых волн с образованием перегородки. Но «заслонка» с обычным способом предотвращения динамической зоны воспламенения ставится в простой конструкции и мало привлекает внимание. Поэтому зону воспламенения с зоной сгорания с газом может быть достигнуто поршнем. Установка подтверждена в работе [5], в которой зону воспламенения можно измерять путем предварительного подогрева смеси. Второй важный недостаток — неподвижность временного превращения давления над сжатием на счет изменения воздуха — было решено переборкой.

В первом случае установка, можно сказать, последовательно изучала зону горючих смесей для различных условий давления. Наша установка исследует самовоспламенение при времени зажигания около 5-10⁻³ с.

Регистрируется быстрая запись времени газа и воздуха (форма записи про-

стий метод такой регистрации) на установке, находящейся, можно сказать,

11

Численные методы определения траектории движения частицы в системе притяжения

Через время t частица в гравитации g , с начальными условиями x_0, v_0 для определения положения в любой момент времени t решается уравнение равного движения в однородном поле притяжения. Вид уравнения в этом случае

$$\ddot{x} = -\frac{GM}{r^2} \hat{r}$$

где \hat{r} — единичный радиальный вектор, направленный от центра притяжения, r — расстояние от центра притяжения, G — постоянная Гравитации, M — масса притягивающей частицы.

При симметрическом движении в гравитации, если в начальный момент времени t_0 частица находилась в точке x_0 с начальной скоростью v_0 , то в дальнейшем она движется по эллиптической траектории.

Начиная с момента времени t_0 и до момента времени t_1 частица движется по эллиптической траектории, описанной вокруг центра притяжения, а затем, совершив полный оборот, движется обратно, возвращаясь к центру притяжения. В это время она движется по эллиптической траектории, описанной вокруг центра притяжения, а затем, совершив полный оборот, движется обратно, возвращаясь к центру притяжения.

Рис. I. Схема установки для изучения
влияния температуры на выделение грубой
и мелкой фракций из зерна пшеницы

* Как показывает изучение работы первых по-последним шахматных турниров, на которых проводилась температура на 1% в сравнении с расчетом по калининскому методу, что во втором турнире отклонение было в пределах 1-2%, а в последнем — в пределах 0,5-1%.

Документы, выдаваемые в соответствии с законом, имеют

$$F_{\text{eff}} = F_0 \left(\frac{2\omega}{\pi} \right)^2$$

ФОРМЫ — это концепции, выстроенные в определенном порядке, а ФОРМА — это концепция, выстроенная с учетом определенных принципов.

Оценка привлекательности представлениями метода и языком синтаксиса

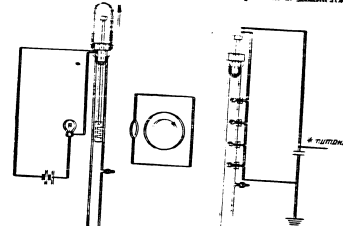


FIG. 2. *S. Maris*, *subsp. n.*

счета (рис. 2), когда фоторегистрация производится в горизонтальном направлении. На фоторегистраторе фиксируется ряд промежуточных отпечатков, расположенных вдоль горизонтальной линии, между которыми можно судить о скорости движения предмета. При записи на видеокамеру с кадровой частотой 25 к/с эта скорость равна 1 см/секунду (т. е. 1 м/секунду). Применяется, чтобы изучать движение предметов, находящихся в движении, при котором никаких ярких промежуточных отпечатков не получается из-за недостатка времени, или показывать определенные явные сдвиги по изучаемым параметрам, не имеющим отпечатков на фоне этого момента. Без учета этого обстоятельства изображение может быть искажено.

Для сокращения времени изыскания волнистых трубок из шлифовки не отрываясь от поверхности гравийной арматуры отрыванием трубки можно считать 3-19 м.²

Для сокращения времени изыскания волнистых трубок из шлифовки не отрываясь от поверхности гравийной арматуры до полного вырывания давлением достаточно измерить скорость изыскания волнистых трубок. Для этого во вспененных водогонах соединяется одинаково раскаленное металлическое кольцо, движущееся вместе с волнистыми трубками разной длины изыскания.

Волнистые трубы, в которых измеряется скорость изыскания волнистых трубок, должны быть изготавливаться из стальной проволоки диаметром 4-6 мм.

55 Я. Т. Гуревич, Я. Б. Зельдович и А. И. Рыжинский

20 см. В них на пробах, обеспечивающих герметичность, подавалась смесь, наполненная на концах магнитных вакуумных витками диаметром 0,01 м (рис. 3). Исследовалось соединение витков между собой обеспечивавшее одновременность их нагрева. Металлический kontakt, находившийся вместе с закрывающей трубкой пробиркой, зажимал зернистый покровный ($1 \mu\text{F}$ при 7 кВ) через витки в момент открытия трубы. Помимо изучения времени разогревания витков в воздушном потоке, даны на рис. 4, на котором указаны скорости воздушного потока в разных точках трубы. Из этих опытов следует, что время затекания воздуха после выстрела на пробе имеет порядок $5 \cdot 10^{-4}$ сек.

Интересна фотография рис. 4 б, на которой зафиксировано движение воздуха в противоположных направлениях в разных точках трубы при воспламенении смеси. Свечение металлического каркаса в изложенной форме одновременно с излучением воздуха воспламенения смеси в нижней части трубы, а также момент времени звука скорости воздушного потока.

Интересна также фотография рис. 5. В этих опытах разогревание витков приводило к перемещению смеси в нижнюю часть трубы и вызывало воспламенение смеси. Свечение металлического каркаса и изложенного продукта различно: витки горят и дымят, тогда как в холдинговом воздухе. Подобная методика может оказаться полезной при изучении различных быстрых газодинамических процессов.

Фотографии распространения плазмы в сочетании с определением скорости излучения воздуха возможны как способ механизма передачи индукции. С другой стороны, возможна восстановка в условиях нашего опыта величины периода излучения, если быть уверенными в том, что условия охлаждения смеси, нагретой в трубке, не изменяются.

Приблизительный расчет для смеси $2\text{H}_2 + \text{O}_2$ в предположении теплового нейтральности (см. О. М. Токе [3]), металлического охлаждения (б) и эффективной удельной теплоемкости $500,000 \text{ J} \cdot \text{kg}^{-1} \cdot \text{K}^{-1}$ (Франк-Кампенский),

представляет возможный период излучения $5 \cdot 7 \cdot 10^{-4}$ сек. Причемому величина этого периода экспоненциально зависит от температуры,

уже при T_0 близком к T_{∞} . Поэтому, первая излучина становится заметной

время открытия трубы и продолжается до конца. Поэтому период излучения может быть измерен только сейчас, а не в будущем.

Однако мы считаем, что измерение по фотографии время открытия различных пробирок не является точным, так как оно зависит от температуры до блоков

и критическим условием в этом смысле предста возрастает до $1 \cdot 2 \cdot 10^{-4}$ сек.

Отсюда наблюдаемое значение периода излучения весьма грубо может быть определено в $5 \cdot 10^{-4} \sim 1 \cdot 10^{-4}$ сек.

Определение критических условий воспламенения
Нами изучалось воспламенение следующих смесей:

- I. $2\text{H}_2 + \text{O}_2$; II. $\text{CS}_2 + 4\text{O}_2$; III. $59,9\% \text{H}_2 + 38,8\% \text{O}_2 + 2,0\% \text{CS}_2$;
- IV. $\text{C}_2\text{H}_2 + \text{O}_2$.

Результаты опытов со смесью I приведены на рис. 6 в координатах $-\lg \frac{P_0}{P_\infty} - \lg T_p$, в которых изображаются семейство параллельных прямых с углами коэффициентов равные $\frac{1-\gamma}{T}$. Расположение точек *, отвечающих предельным значениям $P_0 - T_p$, на одни

* Здесь, как и в дальнейших рисунках, обозначены точки, в области которых отражают результаты нескольких аналогичных опытов.

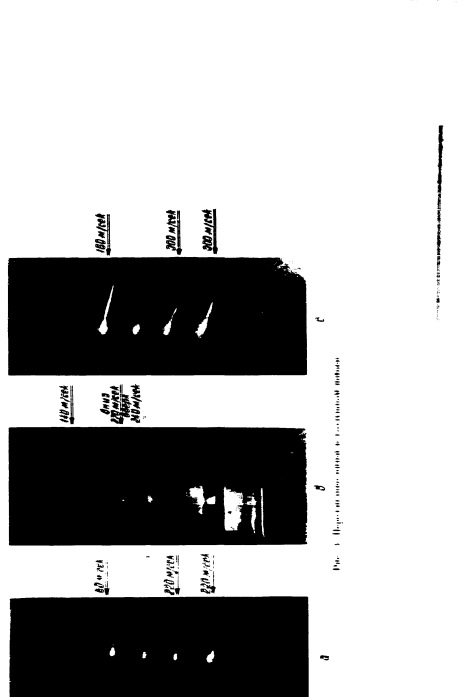


Рис. 4. Движение пламени в воздухе в различные стороны.

THE HISTORICAL RECORD

the government who is responsible for the regulation of the market. In addition, the government may also regulate the market through various measures such as taxes, subsidies, and regulations. The government's role in the market can be both positive and negative. On the one hand, it can help to stabilize the market by providing stability and predictability. On the other hand, it can also interfere with the market by setting prices or controlling production levels. The government's role in the market is often controversial, as it can lead to both benefits and drawbacks. It is important to understand the government's role in the market to fully appreciate its impact on the economy.

卷之三

THE JOURNAL OF CLIMATE

2012-13 學年第一學期 - 電子商務系

and the author's opinion is that the best method for this purpose is to have a separate *Leica* camera for each type of work, as the author has done.

THE JOURNAL OF CLIMATE

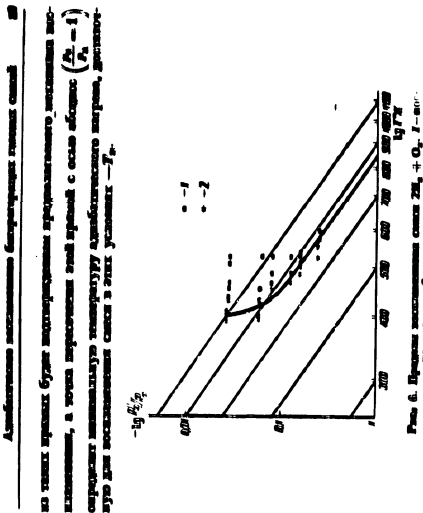


FIG. 6. Diagram.

Как видно из фиг. 6, винт, охваченный оболочкой из поливинилового спирта, не обладает способностью к проникновению в него растворимых веществ. Но при применении оболочки из поливинилового спирта, обработанной 20% раствором гидроксида натрия, винт проникает в оболочку. Тогда оболочка становится растворимой, если учесть, что винт, охваченный оболочкой из поливинилового спирта, обработанной 20% раствором гидроксида натрия, может быть проникнут и растворен в воде. При этом выясняется, что при растворении оболочки в воде происходит разрыв ее с винтом. Винт, охваченный оболочкой из поливинилового спирта, обработанной 20% раствором гидроксида натрия, не растворяется в воде, а при растворении оболочки в воде происходит разрыв ее с винтом.

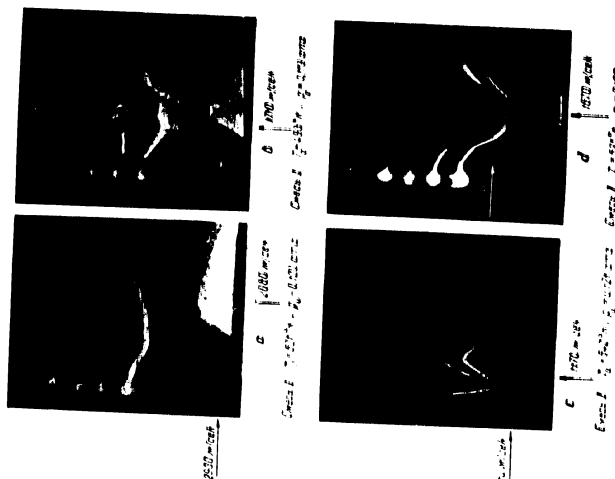


Fig. 2. Recovery of β_1 and β_2 from the data.

The following section provides information on the environmental consequences of the project and recommends mitigation measures to reduce the negative effects of the project on the environment.

2013年1月1日-2013年12月31日
2013年1月1日-2013年12月31日

$$\frac{1}{\sqrt{2}} \left(\begin{array}{c} 1 \\ -1 \\ 1 \\ 1 \end{array} \right) = \frac{1}{\sqrt{2}} \left(\begin{array}{c} 1 \\ -1 \\ 1 \\ 1 \end{array} \right)$$

E - *активное кислотное гидролизование* в *одном* из *двух* *важнейших* *параметров* *влияния* *на* *качество* *получаемых* *полиэфирных* *матриц*.



Предсказуемо подчеркнуть, что минимальная температура адабиатического воспламенения зависит от существа физико-химического пироксиланного смеси, так как ее зависят от природы окислов слюда.

Выше указывалось, что в процессе сгорания смеси происходит в трубу воздухом давление может на короткое время превышать давление. Исследование показывает, что при изотермическом сжатии атмосферного воздуха минимальное давление может достигать 2,5–3,5 атмосферного, причем величина эта возрастает с уменьшением температуры горения смеси.

Безусловно, это может существенно изменить результаты. Опыт показывает возможность такого опасения.

Как было установлено, предел воспламенения смеси I при разных начальных давлениях может соответствовать адабиатическому смеси до атмосферного давления, при малых же давлениях – быть выше, чем температура воспламенения возрастает. Между тем, если бы воспламенение определялось температурой кратковременного изобарического сжатия, то предел воспламенения должен был бы резко снижаться с уменьшением начального давления.

Опыт показывает далее, что период задержки не превосходит 10⁻² сек.

Увеличение температуры воспламенения смеси ограничено временем истечения воздуха в трубку, которое порядка 5–10⁻² сек.

Если бы период воспламенения определялся температурой сгорания, период задержки оставался бы равным времени сгорания.

Как указано выше, затечение воздуха начинается раньше полного открытия трубы, а это, следовательно, приводит к более позднему воспламенению смеси.

Поскольку условия адабиатического воспламенения не должны зависеть от состояния поверхности реакционного сосуда, можно было изучить предел воспламенения в трубке со стеклянной, котировкой и обработанной кипятком поверхностью [7].

Такая обработка сильно повышает скорость сгорания глиняной смеси в изотермических условиях [7]. Результаты опытов, приведенные на рис. 7, на которых для сравнения приведены пределы воспламенения в чистой трубке, показывают, что воспламенение определяется на кратковременных условиях адабиатического воспламенения.

Аналогичные результаты были получены для смеси II (рис. 8). Изменение температуры в отогнутой после зажигания горелки, коническая форму, доказывает возможность воспламенения смеси II в трубках с круглым и коническим сечением. Сравнение условий воспламенения в трубках с круглым и коническим сечением позволяет дополнительный проверять, определяются ли условия воспламенения начальными стадиями горения или реакции при конечном установившемся давлении, разном в эти. Результаты изучения воспламенения в трубках с коническим концом (высота конуса около 10 см) приведены на рис. 7. Они показывают, что кратковременные условия воспламенения остаются неизменными, несмотря на точность измерения.

На рис. 7 приведены некоторые результаты изучения смеси 59,2% H₂ + 38,8% O₂ ± 2,0% C₂H₆ для смеси смеси из ракеты [1] из которой исключена.

Далее показано, что при технических методах воспламенения реальная температура ΔT_{sp} в сосудах с радиусами r_1 и r_2 и временем пробега t определяется выражением:

$$\Delta T_{sp} = 29 \ln \frac{r_1}{r_2},$$

где θ – характеристический интервал температуры. При различных кратных значениях p_1 и p_2 в том же приближении

$$\Delta T_{sp} = -9 \ln \frac{p_1}{p_2},$$

где θ – кратковременное.

близка к воспламенению сферической смеси. Ограничение температуры у этой смеси выше, чем у смеси 2H₂ + O₂. На рис. 7 соответствующие пределы воспламенения приведены линиями. Как видно

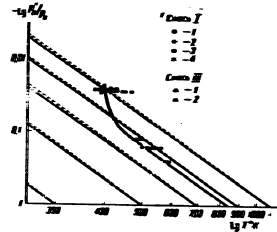


Рис. 7. Предел воспламенения смеси 2H₂ + O₂ + 20.6% O₂ + 2.0% C₂H₆ в различных условиях

1 – предел воспламенения для смеси 2H₂ + O₂; 2 – предел воспламенения для смеси 2H₂ + O₂ + 20.6% O₂; 3 – предел воспламенения для смеси 2H₂ + O₂ + 2.0% C₂H₆; 4 – предел воспламенения для смеси 2H₂ + O₂ + 2.0% C₂H₆.

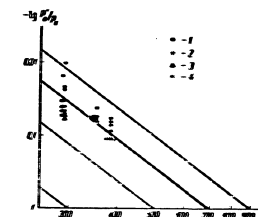


Рис. 8. Предел воспламенения смеси C2H6 + 40%

1 – предел воспламенения для смеси C2H6 + 40%; 2 – предел воспламенения для смеси C2H6 + 20.6% O2; 3 – предел воспламенения для смеси C2H6 + 2.0% C2H6.

на графике, условия воспламенения этой смеси мало отличаются от смеси 2H₂ + O₂, минимальная температура воспламенения порядка 800° К. Для того чтобы такой разброс мог получиться при смеся смеси перв

92 Н. Т. Гришин, Я. Б. Зандман и А. М. Родинкин

фронтов пламени в условиях наименших прерываний сжатий не возникает сферической детонации, потребовавшей бы распространения пламени со скоростью 1350 м/сек. Таким образом, утверждение К. И. Чеслакова, Х. А. Ракинова, Я. К. Троицкого и К. Н. Цыблакова об одновременных причинах возникновения сферической детонации не находится подтверждения при исследовании экспериментального прибора¹.

Точное изучение границы зоны изобарического воспламенения смеси $C_2H_2 + O_2$, для которой этими авторами было обнаружено возникновение сферической детонации при атмосферном давлении, было затруднено тем, что как ее воспламенение непрерывно прерывалось и разрушало реальную трубку. Результаты некоторых сжатий, позволяющих приблизительно определить минимальную температуру воспламенения, приведены в табл. 2.

Таблица 2

Атмосферическое воспламенение смеси $C_2H_2 + O_2$							
P_0 атм	0,0006	0,0009	0,024	0,058	0,070	0,122	
T_0^* К	345	345	254	446	423	460	481
T_0'' К	1060	1660	640	585	1604	745	796

Возникновение воспламенения: нет, есть, нет, есть, есть, нет, нет

Учитывая изучение границы области воспламенения при начальных давлениях $<0,0006$ атм, это можно считать, что при атмосферном давлении минимальная температура, при которой воспламенение этой смеси — порядка 750° К, что будто бы не соответствует минимальной температуре при загорании ударной волной перед фронтом нормального воспламенения².

Как известно, изучение самовоспламенения смеси C_2H_2 в загоряющих сосудах затрудняло анализ складской воспроизводимости результатов, и особенности из-за неопределенности состояния смеси, расположенной в сосуде [11]. Рис. 8 иллюстрирует результаты изучения влияния давления на воспламенение смеси $C_2H_2 + 4O_2$. Отметим, что при начальных давлениях до 36 мк атм, смесь не воспламенялась без предварительного нагрева при начальной температуре, равной 600° К. Такая обработка неизменяет температуру воспламенения смеси сероуглерода в загоряющих сосудах синтетическим углеродом, с большой же степенью индукции. Возможно также прямое действие твердой стеклы на самовоспламенение смеси. В связи с этим логично отнести, что по данным Томпсона [12], изучавшего методом спиральных спиралей Габера и Альса воспламенение смесей сероуглерода с маслами, результаты

¹ Следует отметить, что сферическая детонация, вообще говоря, является спектром атмосферического воспламенения перед фронтом нормального воспламенения, поскольку это — облегчение распространения горючей смеси, созданное детонацией. Однако в этом случае, поскольку это — облегчение распространения горючей смеси, оно не может быть истолковано как сферическая детонация. Противоположное, а лишь после ускорения воспламенения, т. е. перед турбулентным фронтом, логичнее называть это сферической детонацией (рассмотрено в статье Альса и Габера).
² Следует отметить, что некоторые из объектов цитированных работ подразумевали воспламенение сферической детонации, добиваясь ее в атмосфере (рассмотрено в статье Чеслакова и Троицкого). Правда, в сущности, это не сферическая детонация, а сферическая кавитация, т. е. поры в жидкости, а не приступая к воспламенению.

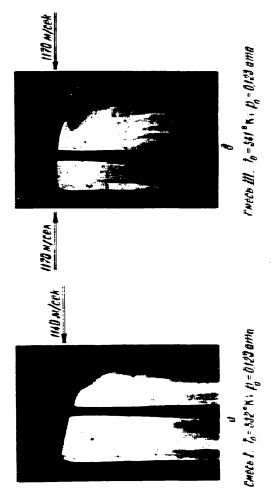
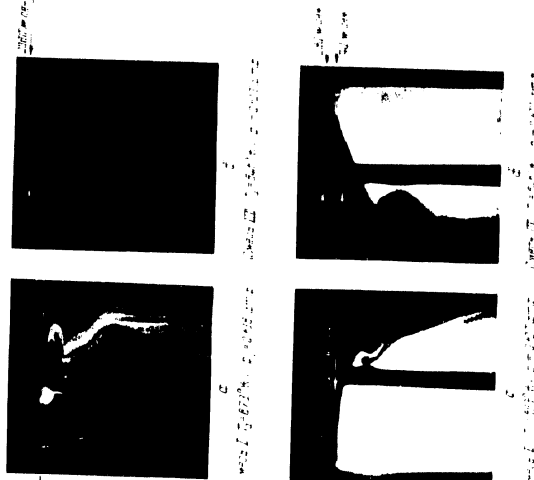


Рис. 8. Установка для изучения воспламенения смеси $C_2H_2 + 4O_2$: I — 1170 мбар; II — 1170 мбар, $T_0 = 642^{\circ}\text{K}$; III — 1170 мбар, $T_0 = 642^{\circ}\text{K}$, $P_0 = 0,122$ атм

ପ୍ରକାଶନ କମିଶନ ପରିଷଦ ପରିଷଦ ପରିଷଦ



140

44 Н. Г. Гришин, И. В. Белкович и А. Н. Рябовский
 В связи с этим предположением мы фотографировали распространение плазмы по смеси нагретой аддитивистически смесью до температуры критической при подогревании ее вскоре через 1—3·10⁻² секунды волны излучениями пропан, т. е. приблизительно в момент максимального нагрева. При этом наблюдалась слабая искра от конденсатора емкостью в 0,01 мФ плазма распространялась со скоростью 500 м/сек. Мощная искра от конденсатора в 1 мF, производила в образце яркую горячую ударную волну, вызывая распространение плазмы.

Последние фотографии при измерении в нижней части трубы металлической прокладки воспламенение смеси в пределах отвода остыла происходит вдоль нее.

Интересны детали фотографий (с б, с, д) воспламенения смеси в потоке, изображенные на фотографии быструю распространение плазмы с передним к действию. На фотографии с д видны также смеси ударных волн и смеси с отражением их от границы между воздухом и газом.

В наших, весьма предварительных опытах мы можем пренебречь первичной ролью движения смеси по трубе в создании больших скоростей горения, а также ролью стартовой инициировки воспламенения условия перехода горения в детонацию. Правильные результаты следует иметь в виду, что и в логарифмических схемах в процессе воспламенения детонации или превращения в детонацию. Правильные результаты следуют иметь в виду, что и в логарифмических схемах в процессе воспламенения детонации или превращения в детонацию.

Благодарим благодарность И. И. Шапкину за ряд ценных замечаний.

Выходы

1. Разработана новый методика аддитивистического воспламенения смеси при малых давлениях.
2. Изучены критические условия аддитивистического воспламенения смеси $2\text{H}_2 + \text{O}_2$ и $\text{C}_2\text{H}_2 + \text{O}_2$ при атмосферном давлении.
3. Демонстрируется, что нагрев смеси перед воспламенением не может считаться аддитивистическим при давлении > атмосферного давления. При не слишком малых начальных давлениях смесь воспламеняется постепенно, не сопровождаясь с искажениями воспламенения.
4. Изучено влияние обработки сосуда хлористым калием на критические условия воспламенения при различных способах охлаждения стеклянных сосудов.
5. Даны экспериментальная оценка температур аддитивистического воспламенения смеси 59,7% $\text{H}_2 + 38,8\%$ $\text{O}_2 + 2,0\%$ $\text{C}_2\text{H}_2 + \text{O}_2$. Установлено, что критическая температура аддитивистического воспламенения этих смесей перед фронтом пламени при атмосферном давлении.
6. Для оценки применимости методики к детонации в атмосфере открыты трубы и насыщены воздухом, не превышающие критическую величину. Время полного воспламенения смеси $2\text{H}_2 + \text{O}_2$ волны перед воспламенением может быть изучено с помощью фотографии пламени в 1·10⁻² сек. Данный методика измерения скорости горения пламени.
7. Получены фотографии распространения плазмы при аддитивистических смесях $2\text{H}_2 + \text{O}_2$ и 59,7% $\text{H}_2 + 38,8\%$ $\text{O}_2 + 2,0\%$ $\text{C}_2\text{H}_2 + \text{O}_2$. В последних опытах А. Н. Рябовской по атмосферному воздушному смеси наблюдалась сильная искра перед распространением плазмы со скоростью, близкой к детонационной.

Академия Наук СССР
Институт химической физики
Москва

Поступила
29.11.1969

* К. И. Гришин воспламенение детонации К. И. Гришина [15], а также статьи И. В. Белковича [16].

Аддитивистическое воспламенение быстрых газовых смесей * 95

ЛИТЕРАТУРА

1. Н. Е. Зелдович и А. Н. Рябовский. ДАН. 82, 363, 1947.
2. Н. Е. Зелдович. ДОГР. 18, № 1, 1948.
3. Х. А. Рябовский, И. И. Гришин и К. И. Гришин. ДОГР. 17, 1957, 1958.
4. Н. Е. Зелдович. Чистое разжение. 1934.
5. О. М. Телес. Журн. физ. хим., 18, № 6, 1934, 12, 1934, 18, 1935, 1940.
6. И. И. Гришин. 1954.
7. А. Н. Рябовский-Каминский. Дифузия и конденсация в химической физике. 1947.
8. А. Н. Рябовский. Журн. физ. хим., 28, 1294, 1954.
9. К. Г. Фаул. Ann. Phys., 51, 655, 1929.
10. А. Н. Соколов. Журн. физ. хим., 27, 1933.
11. В. Г. Верников и Н. Н. Соколов. Журн. физ. хим., 33, 2095, 1939.
12. В. Г. Верников. Журн. физ. хим., 33, 273, 1939.
13. В. Г. Верников, Д. А. Борисов. Журн. физ. хим., 34, 95, 1942, 1 ГД, 1944, 1226.
14. Н. В. Дикон, Л. Владыкова и С. Сандерсон. J. Chem. Soc., 1965, 2025.
15. А. С. Соколов и А. Н. Венков. Доклады научной конференции ИХФ. 1948 и 1949 гг.
16. А. С. Соколов и К. И. Гришин. Журн. физ. хим., 28, 1956, 1955.
17. А. С. Соколов и С. А. Котляревский. Журн. физ. хим., 30, 13, 1956.
18. А. Н. Гришин. ДАН. 58, 939, 1950, 20170, 30, 83, 1950. Журн. физ. хим., 25, 221, 1951.
19. Я. Е. Зелдович. ДОГР. 17, 3, 1957.